

Theo yêu cầu của khách hàng, trong một năm qua, chúng tôi đã dịch qua 16 môn học, 34 cuốn sách, 43 bài báo, 5 sổ tay (chưa tính các tài liệu từ năm 2010 trở về trước) Xem ở đây

**DỊCH VỤ
DỊCH
TIẾNG
ANH
CHUYÊN
NGÀNH
NHANH
NHẤT VÀ
CHÍNH
XÁC
NHẤT**

Chỉ sau một lần liên lạc, việc dịch được tiến hành

Giá cả: có thể giảm đến 10 nghìn/1 trang

Chất lượng: Tao dựng niềm tin cho khách hàng bằng công nghệ 1. Bạn thấy được toàn bộ bản dịch; 2. Bạn đánh giá chất lượng. 3. Bạn quyết định thanh toán.

Tài liệu này được dịch sang tiếng việt bởi:

www.mientayvn.com

Tìm bản gốc tại thư mục này (copy link và dán hoặc nhấn Ctrl+Click):

<https://drive.google.com/folderview?id=0B4rAPqlxIMRDSFE2RXQ2N3FtdDA&usp=sharing>

Liên hệ để mua:

thanhlam1910_2006@yahoo.com hoặc frbwrthes@gmail.com hoặc số 0168 8557 403 (gặp Lâm)

Giá tiền: 1 nghìn /trang đơn (trang không chia cột); 500 VND/trang song ngữ

Dịch tài liệu của bạn: http://www.mientayvn.com/dich_tiang_anh_chuyen_nghanh.html

B. E. Dairy mple,¹ A.O.C.A.; J. M. Duff,² Ph.D.; and E. R. Menzel,² Ph.D.

Vân tay tự phát quang-phát hiện bằng Laser

Các phương pháp đang được sử dụng trong hiện tại để phát hiện dấu vân tay có thể được chia thành hai loại: một loại phụ thuộc vào việc bám dính của các vật liệu trợ vào phần vân tay còn sót lại (phương pháp bột), và một loại dựa trên sự tương tác hóa học của thuốc thử với các thành phần cụ thể của các vân tay ẩn (ví dụ như phương pháp ninhydrin) [7]. Trong thực tế, cả hai loại, cũng như tất cả các phương pháp phát hiện dấu vân tay truyền thống, cần một hóa chất hoặc xử lý vật lý mẫu cần kiểm tra.

Khai thác tính chất bên trong của các thành phần có trong dấu vân tay ẩn, để có thể thấy được vân mà không cần dùng hóa chất "nhuộm" sẽ rất hữu ích. Một phương pháp như vậy sẽ tránh được các tác động có hại của bước phát triển dấu vân tay dựa trên các phương pháp kiểm tra phôi khác (những phương pháp phá hủy mẫu), cho dù là phát hiện vân tay, phân tích máu, hoặc một số quy trình khác.



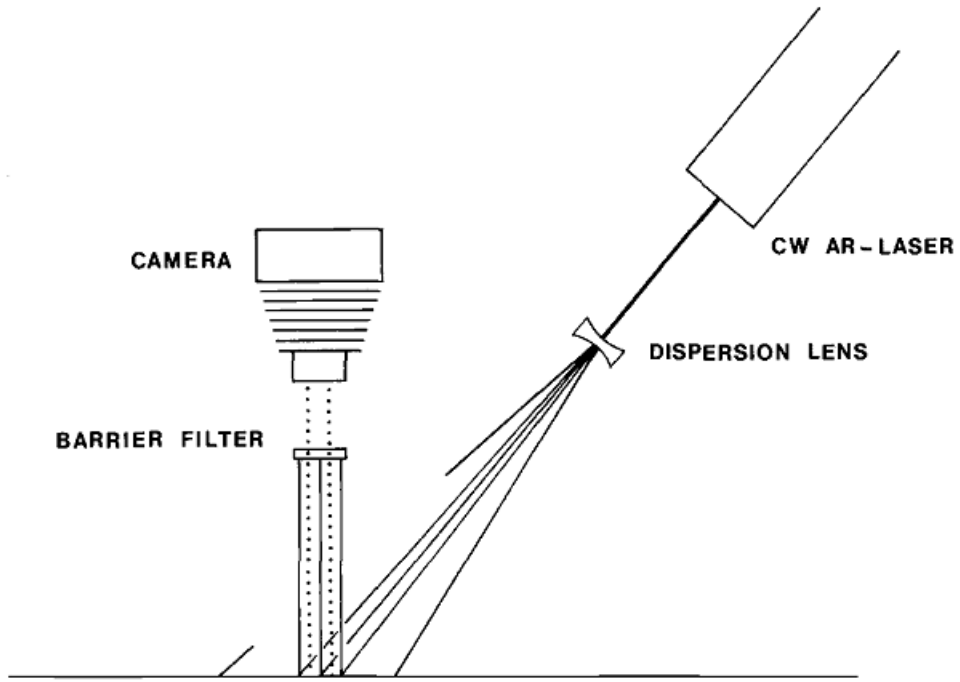
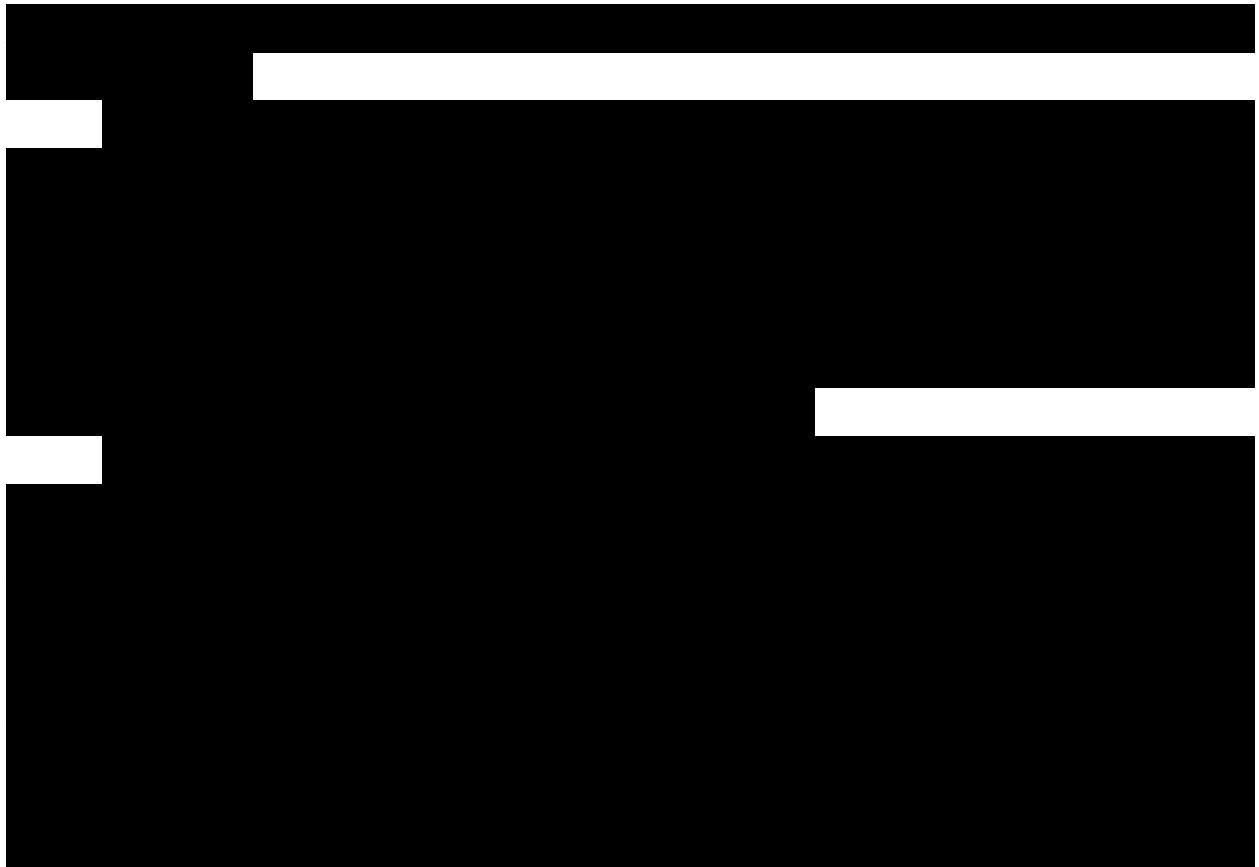


FIG. 1—Schematic diagram of laser detection setup. Dotted lines denote fingerprint luminescence.

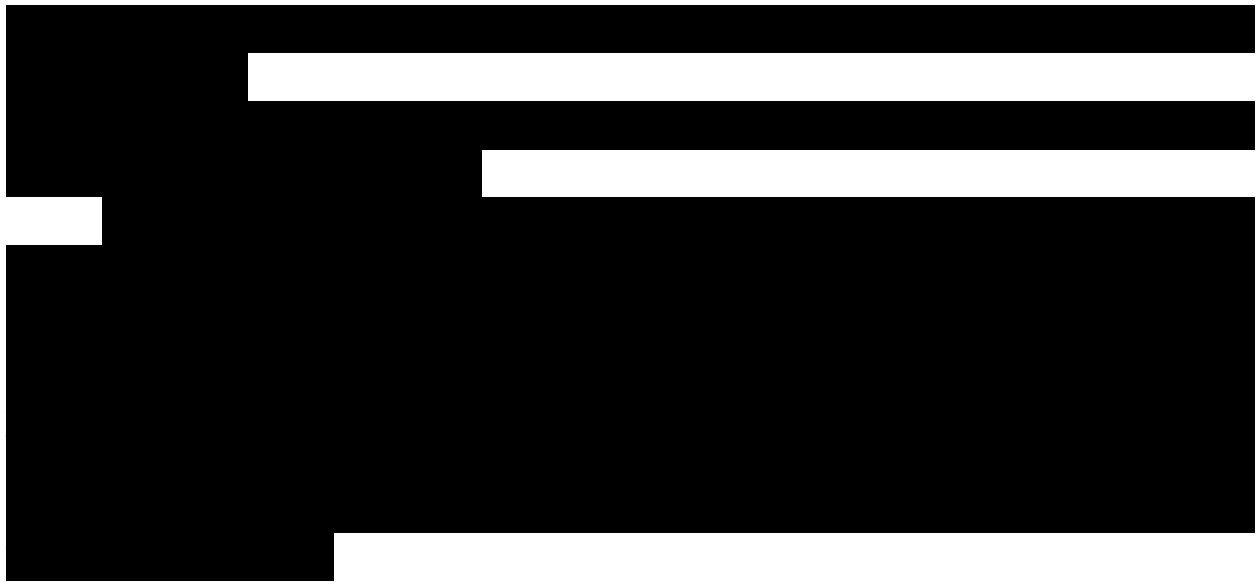


[REDACTED]

[REDACTED]

[REDACTED]





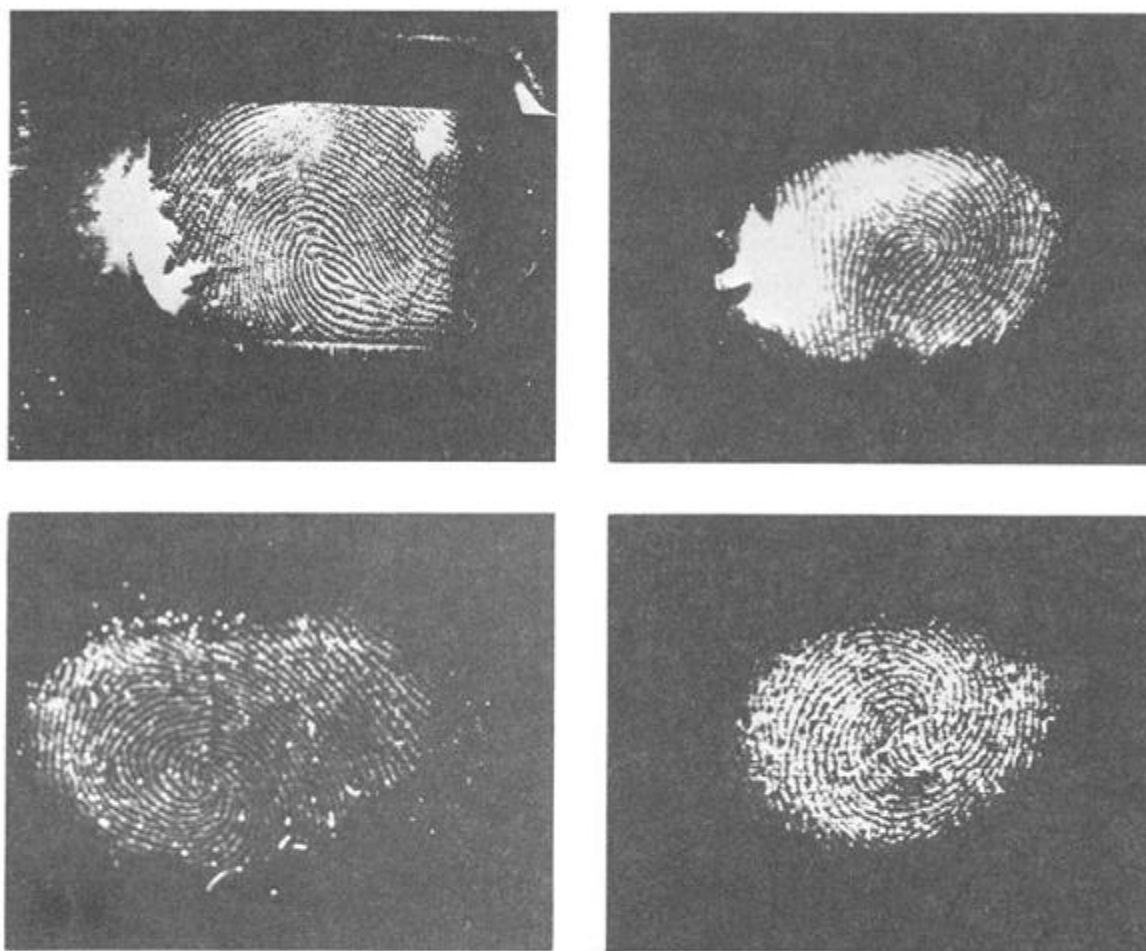


FIG. 3—*Photographs of fingerprints on various surfaces, obtained by the laser method; (upper left) stainless steel knife blade; (upper right) Styrofoam[®] cup; (lower left) brown glass bottle; and (lower right) white paper towel.*



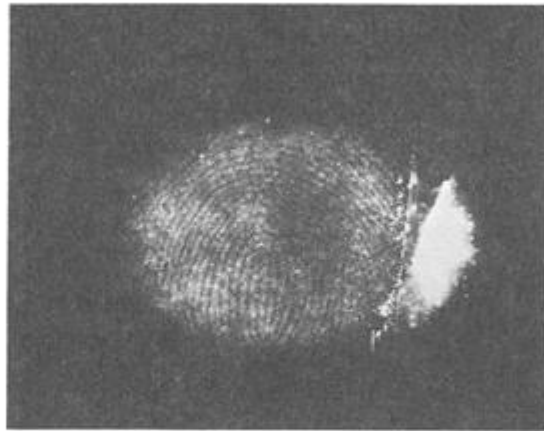


FIG. 4—*Photograph of fingerprint on living skin detected by laser excitation.*

[REDACTED]

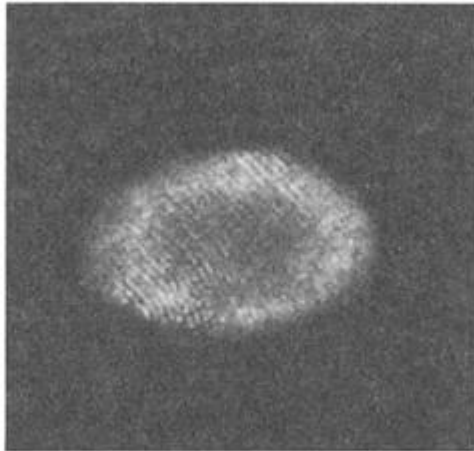


FIG. 5—*Fourteen-month-old fingerprint on a letter, detected by laser excitation.*



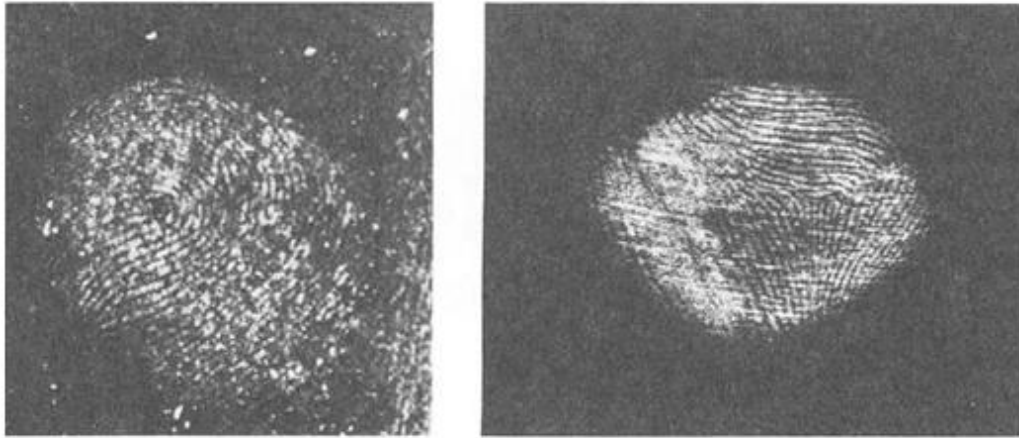


FIG. 6—(left) *Fingerprint on black cardboard stained with coumarin-6 and rendered visible via the laser method and (right) photograph of fingerprint on wooden knife handle using laser illumination after coumarin-6 staining.*



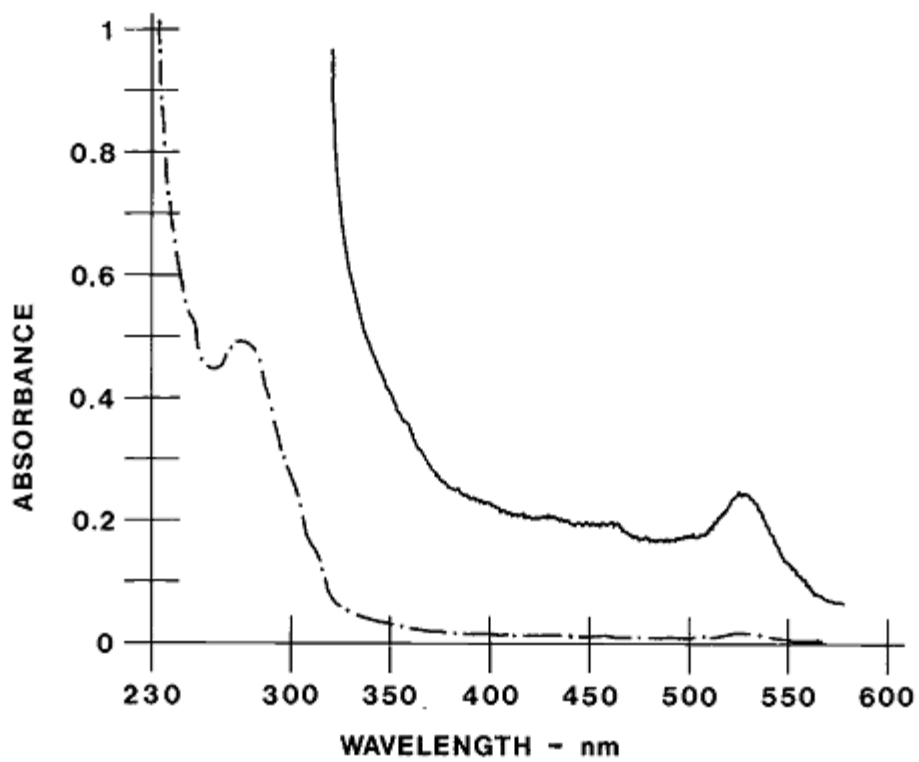


FIG. 7—Absorption spectrum of fingerprint material in methanol solution (room temperature): (---) full scale = 0 to 1 absorbance and (—) full scale = 0 to 0.1 absorbance.

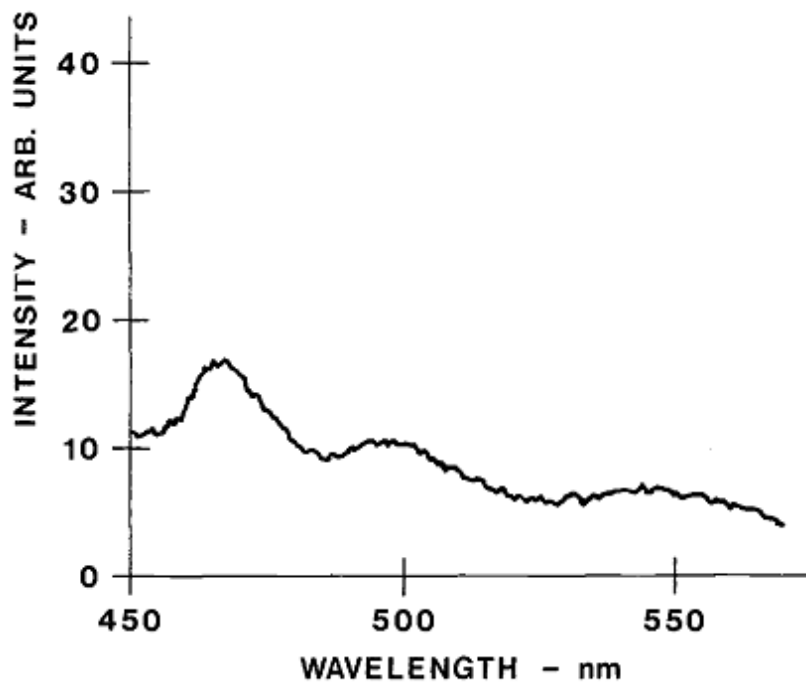


FIG. 8—Emission spectrum of fingerprint material in methanol solution (room temperature) obtained with 295-nm excitation.

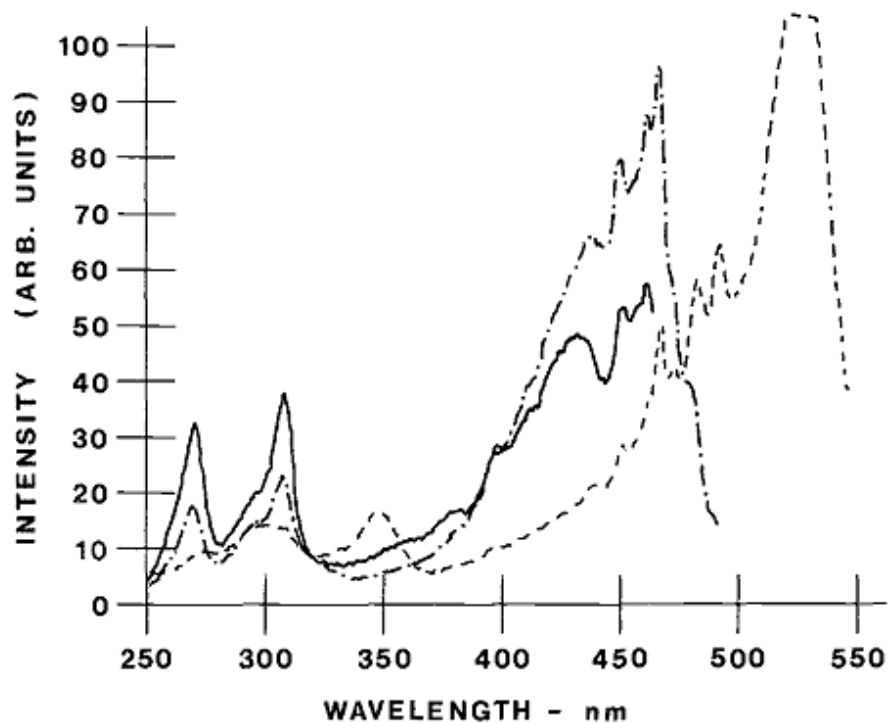


FIG. 9—Excitation spectra (room temperature methanol solution) corresponding to the 470 (—), 500 (— · — · —), and 550-nm (— — —) emission bands. See text and Fig. 8.

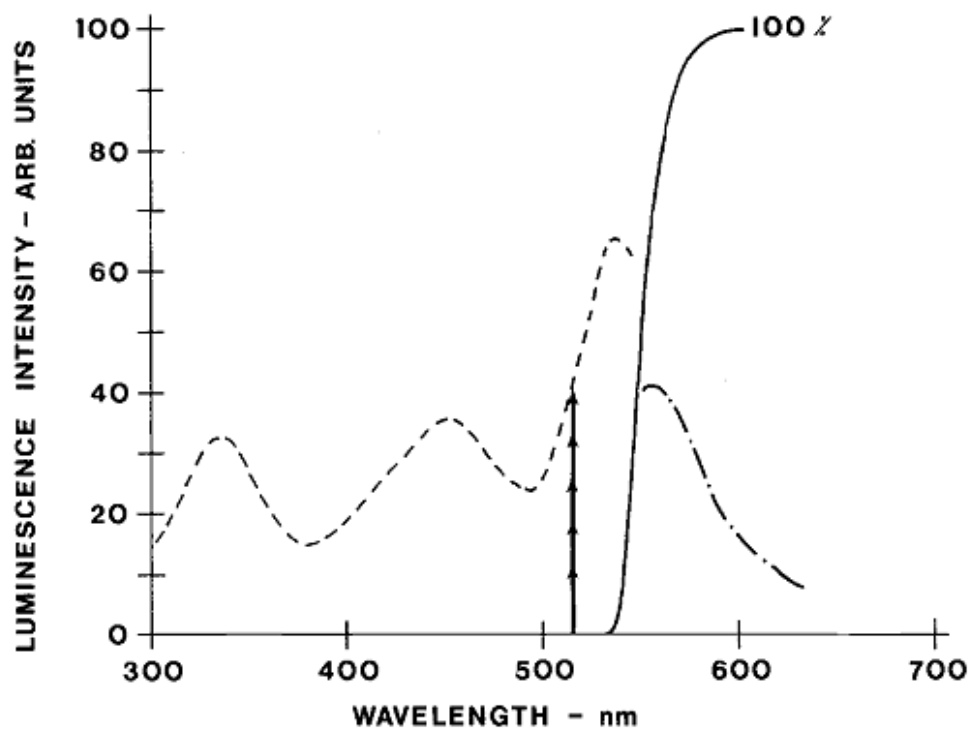


FIG. 10—Emission spectrum using 520-nm excitation (— · — · —) and the corresponding excitation spectrum (— — —) of fingerprint material deposited on Mylar® plastic transparent film. Also shown are the transmission curve of the laser goggle filter (————) and the 514.5-nm laser line (↔↔↔).

[REDACTED]

[REDACTED]

[REDACTED]

[REDACTED]

[REDACTED]

[REDACTED]

[REDACTED]

[REDACTED]

[REDACTED]

[REDACTED]

[REDACTED]

[REDACTED]

[REDACTED]

[REDACTED]

[REDACTED]

[REDACTED]

[REDACTED]

[REDACTED]

